

توسعه یک مدل کنترلی برای پیش‌بینی زمان احتراق در موتورهای HCCI

سasan اکبرپور^۱، رحیم خوش‌بختی‌سرایی^۲، مهدی میرزاچی^۳، وحید محمدی^۴ و قاسم سلیمانی^۵

۱- کارشناس ارشد، مهندسی مکانیک، دانشگاه صنعتی سهند، sasan.akbarpour@yahoo.com

۲- دانشیار، مهندسی مکانیک، دانشگاه صنعتی سهند (نویسنده مسئول)، khoshbakhti@sut.ac.ir

۳- دانشیار، مهندسی مکانیک، دانشگاه صنعتی سهند، mirzaie@sut.ac.ir

۴- کارشناس ارشد، مهندسی مکانیک، دانشگاه صنعتی سهند، v_mahammadi@sut.ac.ir

۵- کارشناس ارشد، مهندسی مکانیک، دانشگاه صنعتی سهند، soleimani@sut.ac.ir

(دریافت: ۹۲/۸/۱۲/۵، دریافت آخرین اصلاحات: ۹۲/۸/۱، پذیرش: ۹۲/۸/۳۰)

یکی از چالش‌های موجود در موتورهای HCCI عدم وجود سیستم کنترلی مناسب نظری موتورهای احتراق داخلی مرسوم است. از این‌رو، کنترل احتراق HCCI می‌تواند راه را برای توسعه تجاری این موتورها هموار کند. در کار حاضر، یک مدل کنترلی (COM) توسعه یافته است که قادر است زمان شروع احتراق (SOC)، دوره احتراق (BD) و زاویه میل‌لنگی که در آن ۵۰ درصد آزادسازی گرما اتفاق افتاده است (CA50) را پیش‌بینی کند. کارایی مدل با استفاده از مقایسه پارامترهای مذکور با مقادیر متناظر تجربی آن‌ها (از تحلیل داده‌های فشار داخل سیلندر اندازه‌گیری شده) در محدوده وسیعی از شرایط عملکردی موتور مورد ارزیابی قرار گرفته است. در ادامه، مقادیر مختلف برای دمای مخلوط ورودی، فشار ورودی و نسبت هم‌ارزی، برای موتور HCCI گازسوز در مدل توسعه یافته اعمال شد. از این نتایج برای بهینه‌سازی ضرایب موجود در رابطه اصلی مدل انتگرال کوبشی اصلاح شده و سایر روابط موجود برای پیش‌بینی پارامترهای احتراقی استفاده شد. دسترسی به شرایط مناسب ورودی جهت عملکرد پایدار موتور از محسن این سیستم کنترلی است.

کلیدواژگان: موتور HCCI، مدل کنترلی (COM)، زمان شروع احتراق (SOC)، دوره احتراق (BD)، CA50

مقدمه

افزایش روزافزون مصرف سوخت و انتشار آلاینده‌ها سبب شده است تا تکنولوژی‌های برتر در زمینه‌های مختلف از جمله موتورهای احتراقی گسترش یابند. از این رو می‌توان به احتراق موتورهای اشتعال تراکمی مخلوط همگن (HCCI)^۱ به عنوان یک اصل جایگزین برای موتورهای احتراقی، که در برگیرنده مصرف پایین سوخت و کاهش انتشار آلاینده‌هایی همچون NO_x و PM است، اشاره کرد [۲، ۱]. این تکنولوژی را می‌توان تلفیقی از احتراق در موتورهای SI و CI دانست. احتراق در HCCI ممکن بر خود اشتعالی مخلوط فشرده هوا و سوخت در نقاط محلی داغ و توزیع آن به سرتاسر مخلوط است [۳]. همگن‌بودن مخلوط سوخت و هوا در این نوع تکنولوژی و پایین‌بودن دمای احتراق سبب کاهش شدید آلاینده‌هایی همچون NO_x و PM می‌شود. همچنین بالابودن نسبت تراکم، پایین‌بودن افتهاي دریچه گاز^۲ و کوتاه‌بودن مدت زمان احتراق همگی این تکنولوژی را به سمت بهره‌وری بالاتری هدایت می‌کنند. مزایای استفاده از موتورهای HCCI با اشکالات عمده‌ای نیز همراه است که از جمله می‌توان به محدودبودن گستره کارکرد، انتشار زیاد آلاینده‌های UHC و CO و مشکلات در کنترل زمان احتراق اشاره کرد [۴]. به‌منظور غلبه بر این اشکالات و همچنین حاصل شدن تمامی مزایای موجود در موتورهای HCCI چالشی به نام کنترل زمان احتراق در موتورهای HCCI در پیش‌روی محققان قرار دارد. درواقع می‌توان گفت که با پیش‌بینی و کنترل زمان احتراق در موتورهای HCCI می‌توان تاثیر معایب ذکر شده را تا حد بسیار زیادی کاهش و همچنین تأثیرات مزایای مذکور را به‌شكل قابل توجهی

1. Homogeneous Charge Compression Ignition

2. Throttling losses

افزایش داد [۶,۵]. یکی از راههای گسترش محدوده کارکرد در موتورهای HCCI به کار بردن حالت کارکرد دوگانه HCCI/SI و HCCI/CI است [۸,۷]، که این مستلزم کنترل دقیق زمان احتراق HCCI بهدلیل تأثیرگذاری بسیار بالای آن بر روی دمای گازهای خروجی و تغییرات آن در هر یک از مدل‌های اشاره شده است [۹]. زمان احتراق همچنین تأثیر قابل توجهی در انتشار آلاینده‌ها در طول مدت زمان احتراق و بعد از احتراق دارد [۱۰,۶]. همچنین، تأثیر آن روی ترکیب گازهای باقی‌مانده و دمای آن‌ها برای چرخه‌های بعدی بسیار زیاد است [۱۱]. پس می‌توان گفت کنترل زمان احتراق HCCI برای عملکرد مطلوب موتور لازم و ضروری است، ولی دشواری‌هایی نیز در این راه وجود دارد و آن، نبود یک منبع مستقیم شروع‌کننده احتراق در این نوع موتورها مانند شمع در موتورهای SI و پاشش سوخت در موتورهای CI است که کنترل زمان احتراق را با چالش‌روبه رو می‌کند. درواقع زمان شروع احتراق در موتور HCCI تابعی از شرایط مخلوط از قبیل شرایط بار ورودی، و دما و ترکیبات گازهای باقی‌مانده از چرخه قبل است. مدل‌های شبیه‌سازی که در این راستا توسعه می‌یابند به عنوان ابزاری برای درک هرچه بهتر تأثیر عوامل مختلف روی زمان احتراق و بررسی دینامیکی تغییرات شرایط بار ورودی به کار می‌روند. از آنجایی که فرایند خوداستعالی در موتورهای HCCI با سینتیک شیمیایی هدایت می‌شود، این مدل‌ها اغلب با بهره‌گیری از سینتیک شیمیایی می‌توانند شبیه‌سازی ایدئالی از آنچه که در این فرایند رخ می‌دهد را داشته باشند. اختلاف این مدل‌ها اغلب در میزان پیچیدگی و جزئیات مربوط به مکانیزم‌های سینتیک شیمیایی است. می‌توان از نوع مدل‌های ترموشیمیایی^۱ به گروههای زیر اشاره کرد:

1. CFD-kinetic TKMs [12]
2. Sequential CFD based multi-zone TKMs [13]
3. Multi zone TKMs [14]
4. Zero dimensional TKMs [15]

با جستجو و بررسی کلیه این گروه‌ها در ادبیات فن در کارهای گذشته، می‌توان به این مسئله پی برد که مدل‌های تکمنطقه‌ای می‌توانند، علی‌رغم سادگی و زمان محاسباتی پایین‌تر، پیش‌بینی خوبی از عملکرد کلی موتور داشته باشند [۱۶]. بنابراین از شبیه‌سازی انجام‌شده توسط مدل‌های ترموشیمیایی می‌توان برای توسعه مدل‌های برمبنای کنترلی^۲ استفاده کرد. مدل‌های برمبنای کنترلی خود به دو دسته تقسیم می‌شوند. دسته اول شامل مدل‌هایی‌اند که زمان احتراق را در حالت پایا پیش‌بینی می‌کنند. دسته دوم شامل مدل‌هایی‌اند که قادرند در حالت گذرا زمان احتراق را پیش‌بینی کنند. این مدل‌ها قادرند کنترل احتراق در حالت چرخه به چرخه^۳ را برعهده گیرند. به عنوان مثال، در شرایطی که بار و سرعت در حال تغییر است، می‌توان از این نوع مدل برای پیش‌بینی زمان احتراق استفاده کرد. از جمله مدل‌های گروه اول می‌توان به موارد زیر اشاره کرد:

1. Simple look-up table approach[18] or temperature threshold method[19]
2. Shell model [21,20]
3. Arrhenius-type rate threshold models [24,23,22,19]
4. Knock Integral Models [28,27,26,25]
5. Modified Knock Integral Models [30,29,17]

این مدل‌ها دقیق و زمان محاسباتی متفاوتی دارند. همچنین، داده‌های ورودی در آن‌ها برای پیش‌بینی زمان احتراق کاملاً متفاوت است. برای مثال، مدل آستانه دمایی مدل بسیار ساده‌ای است که نیازی نیز به داده‌هایی که اندازه‌گیری آن‌ها سخت و هزینه‌بر باشد ندارد، ولی دقیق آن بسیار پایین است. در حالی که مدل نوع سوم بسیار دقیق است، اما داده‌هایی که به عنوان ورودی در آن به کار می‌رود به سختی قابل اندازه‌گیری است و اندازه‌گیری آن‌ها هزینه‌بر است. به طور مثال، برای استفاده از این مدل می‌بایست در هر لحظه غلظت سوخت و اکسیژن و دمای گازهای داخل سیلندر را دانست که اندازه‌گیری آن بسیار دشوار است. بنابراین، نیاز به توسعه مدل‌های جدید غیرقابل انکار است. مدل‌هایی که بتوانند با دقیق خوب و مناسب و بدون نیاز به داده‌های ورودی هزینه‌بر و غیر قابل اندازه‌گیری، پیش‌بینی خوبی از زمان احتراق داشته باشند.

1.Thermo- Kinetic Model (TKM)

2. Control Oriented Model (COM)

3. Cycle to Cycle

توصیف کار حاضر

در کار حاضر، با کوپل یک مدل تکمنطقه‌ای ترمودینامیکی با مکانیزم‌های سینتیکی، یک مدل ترموشیمیایی برای پیش‌بینی زمان احتراق توسعه یافته است. این مدل ابزار بسیار مناسبی برای پیش‌بینی زمان شروع احتراق [۱۵، ۳۱] و مطالعات عملکردی [۱۶] است، اما همانند سایر مدل‌های تکمنطقه‌ای دقت کافی در پیش‌بینی فشار بیشینه و طول مدت زمان احتراق ندارد. توسعه این مدل بر مبنای مشخصات موتور (CFR)^۱ موجود در دانشگاه آلبرتای کانادا و سوخت گاز طبیعی است. شایان ذکر است که مدل، انعطاف‌پذیری مناسبی در انواع مختلف سوخت‌ها دارد. از این‌رو می‌توان با تغییر مکانیزم‌های سینتیکی برای سوخت‌های دیگر نیز از این مدل استفاده کرد.

شکل ۱ و جدول ۱ به ترتیب طرحواره آزمایشگاهی مربوط به موتور (CFR) و مشخصات موتور مذکور را نشان می‌دهند. در مدل توسعه یافته هدف اصلی از مدل سازی احتراق HCCI بررسی زمان شروع احتراق است. با پیش‌بینی زمان شروع احتراق در مدل ترموشیمیایی توسعه یافته از نتایج آن برای بهینه‌سازی ضرایب موجود در رابطه اصلی مدل انتگرال کویشی اصلاح شده^۲ و تابع ویب استفاده می‌شود. بدین ترتیب می‌توان با استفاده از مدل انتگرال کویشی اصلاح شده و تابع ویب، پیش‌بینی‌های دقیق و مناسبی از پارامترهایی همچون SOC^۳، CA50^۴ و BD^۵ داشت.

در این بخش جزئیات مربوط به بالانس انرژی در منطقه احتراق، مکانیزم‌های سینتیکی و روش حل معادلات حاکم در مدل توسعه داده شده از لحظه بسته شدن سوپاپ ورودی (IVC)^۶ تا لحظه بازشدن سوپاپ خروجی (EVO)^۷ آورده می‌شود. در مدل حاضر، کل محفظه احتراق به صورت یک منطقه و با درنظر گرفتن شرایط ترمودینامیکی یکسان فرض شده است. همچنین، فرض بر این است که تمامی گونه‌ها در آن منطقه می‌توانند رفتار گاز ایدئال را داشته باشند. جرم داخل سیلندر نیز ثابت فرض شده است. از مقدار سوخت تبخیر شده در دریچه^۸ ورودی صرف نظر شده و فرض می‌شود که تمام مخلوط در فاز گازی است. همچنین، دمای متوسط دیواره محفظه احتراق جهت محاسبه انتقال حرارت هم‌رفتی استفاده شده است. از این رو معادله انرژی با درنظر گرفتن اثر اختلاط، مطابق آنچه که پایتون و همکارانش انجام داده‌اند [۳۲]، به صورت زیر خواهد بود که در آن β عکس زمان اختلاط است که بسته به هندسه و سرعت دورانی موتور قابل تنظیم است:

$$\frac{dT}{dt} = \frac{1}{m C_{v,mix}} (Q_w(t) - \beta m_{int} C_{p,int} (T - T_{int}) - P \frac{dV}{dt} - m U_i \frac{dY}{dt}) \quad (1)$$

مدل انتقال حرارت استفاده شده در مدل ترموشیمیایی توسعه یافته مدل وشنی^۹ اصلاح شده است [۳۴].

$$Q_w(t) = -h_c(t) A_s (T_g - T_w) \quad (2)$$

$$h_c(t) = \alpha \left[L(t)^{-0.2} P(t)^{0.8} T(t)^{-0.73} W(t)^{0.8} \right] \quad (3)$$

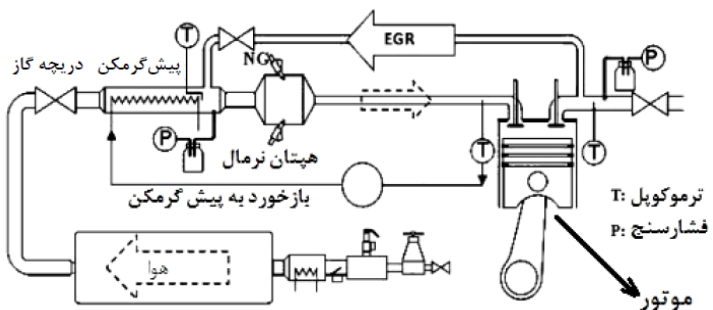
$$W(t) = C_1 S_p + \frac{C_2}{6} \frac{V_d}{P_r} \frac{T_r}{V_r} (P - P_{mot}) \quad (4)$$

$$S_p = 2 \text{ rpm. Stroke} \quad (5)$$

که در آن L ارتفاع لحظه‌ای محفوظه احتراق، P و T به ترتیب فشار و دمای گاز داخل سیلندر، W سرعت محلی گاز، S_p سرعت متوسط پیستون، T_r و P_r به ترتیب دما، فشار و حجم در لحظه بسته شدن سوپاپ ورودی، V_d حجم جایه‌جایی و P و P

1. Cooperative Fuels Research
2. Modified Knock Integral Model(MKIM)
3. Start of Combustion
4. Crank Angle for %50 burnt fuel
5. Burn Duration
6. Intake Valve Closing
7. Exhaust Valve Opening
8. Port
9. Woschni

P_{mot} به ترتیب فشار لحظه‌ای و فشار موتورگردانی^۱ در موقعیت زاویه‌ای میل لنگ یکسان است. شایان ذکر است که در کار موجود ضرایب C_1 , C_2 و α که مربوط به معادله انتقال حرارت‌اند و همچنین ضریب β موجود در معادله انرژی برای درنظر گرفتن اثر اختلاط با استفاده از الگوریتم ژنتیک و کد توسعه‌یافته در محیط برنامه‌نویسی فرتون ۹۰ بهینه‌سازی شده به طوری که نتایج بدست آمده از مدل و نتایج تجربی مربوط به آنالیز نمودارهای فشار داخل سیلندر، برای شرایط مختلف آزمایشگاهی، تطابق خوبی دارند.



شکل ۱- طرحواره آزمایشگاهی موتور CFR

جدول ١- مشخصات موتور CFR

پارامتر	مشخصات	
مدل موتور	Waukesha CFR	
تعداد سیلندر	۱	
سیال خنک کاری	آب	
محفظه احتراق	سرسیلندر دیسکی، پیستون سرصاف	
دربچه گاز	کاملاً باز	
قطر سیلندر	۸۲۶ mm	
طول کوروس	۱۱۴/۳ mm	
حجم جابه جایی	۶۱۲ cc	
نسبت تراکم	۱۷/۲۵ برای گاز طبیعی، ۱۱/۵ برای هپتان نرمال	
زمان بازشدن سوپاپ ورودی	۳۷۰ CAD ATDC	
زمان بسته شدن سوپاپ ورودی	۱۴۶ CAD BTDC	
زمان بازشدن سوپاپ خروجی	۱۴۰ CAD ATDC	
زمان بسته شدن سوپاپ خروجی	۳۷۵ CAD ATDC	

روابط به دست آمده برای

دما و فشار در لحظه بسته شدن سوپاپ ورودی از اطلاعات ورودی مدل ترموشیمیابی اند. از داده های تجربی که در دسترس اند، دمای بار داخل سیلندر در لحظه IVC معادل با دمای چندراهه^۲ ورودی فرض شده است. برای بدست آوردن فشار در لحظه IVC، از رابطه (۶) استفاده می شود که ثابت های توانی هر کدام از متغیرها در این رابطه با به کار بردن داده های تجربی استخراج شده است. این ثابت ها، با معلوم بودن فشار چندراهه ورودی، فشار در لحظه IVC، سرعت موتور (N)، نسبت همارزی مخلوط سوخت و هوا (φ) و دمای چندراهه ورودی در چندین شرایط مختلف کار کردی، استخراج شده است. بدین صورت که با معلوم

1. Motoring Pressure 2. Manifold

بودن هریک از پارامترهای مذکور، ضرایب مجھول به گونه‌ای تعیین شده‌اند که کمترین خطای در محاسبات فشار لحظه IVC وجود داشته باشد [۳۱].

$$P_{ivc} = \frac{N^{0.01379}}{T_m^{0.00039}} \cdot P_m^{\phi^{0.00744}} \quad (6)$$

$$T_m = T_{ivc} \quad (7)$$

در رابطه (۶)، N سرعت موتور برحسب دور در دقیقه (rpm)، P_m و T_m به ترتیب فشار و دمای گاز برحسب ${}^\circ\text{C}$ و kPa و ϕ نسبت همارزی است. با مقایسه مقادیر به دست آمده از رابطه (۶) با داده‌های تجربی می‌توان گفت که این رابطه قادر است P_{ivc} را با دقت $\pm 2/4$ کیلوپاسکال پیش‌بینی کند.

مدل انتگرال کوبشی

سینتیک احتراق در HCCI بسیار شبیه به سینتیک شیمیایی کوبش در موتورهای SI است [۳۳]. برای پیش‌بینی شرایطی که در آن کوبش در موتورهای SI رخ می‌دهد، لیونگوود و وو رابطه زیر را توسعه داده‌اند [۲۵].

$$\int_{\theta_0=0}^{\theta=\theta_e} \frac{1}{w \tau} d\theta = 1.0 \quad (8)$$

$$\tau = A e^{(b/T)^p^n} \quad (9)$$

که در این رابطه θ_e زاویه میل لنگ که در آن کوبش یا خوداشتعالی رخ می‌دهد، θ_0 زاویه میل لنگ اولیه که انتگرال گیری از آن آغاز می‌شود، w سرعت موتور برحسب دور در دقیقه، p فشار برحسب کیلوپاسکال kPa و T دما برحسب کلوین (K) است. θ_e ، مبنای آغاز انتگرال، معادل با θ_{ivc} فرض می‌شود ($\theta_e = \theta_{ivc}$) که هنوز در آن زاویه میل لنگ، واکنش‌ها به شکل محسوسی آغاز نشده‌اند. دقت مدل انتگرال کوبشی^۱ کافی است، ولی وجود پارامترهایی همچون دما و فشار داخل سیلندر که می‌بایست به صورت لحظه‌ای محاسبه یا اندازه‌گیری شوند کاری سخت و پرهزینه و در موقعی غیرممکن است؛ بنابراین در عمل نمی‌توان از آن استفاده کرد.

مدل انتگرال کوبشی اصلاح شده

با توجه به غیرعملی بودن روش مدل انتگرال کوبشی نیاز به توسعه مدلی است تا در عمل بتوان با پارامترهایی که اندازه‌گیری آن‌ها بسیار سهل و ارزان قیمت است شروع احتراق را پیش‌بینی کرد. با سه فرض زیر می‌توان مدل انتگرال کوبشی را به مدل انتگرال کوبشی اصلاح شده^۲ [۳۱]، که در واقع مدلی تصحیح‌یافته است، تبدیل کرد. این سه فرض عبارت است از پلی‌تروپیک بودن فرایند تراکم، استفاده از نسبت هوا به سوخت به جای غلظت لحظه‌ای سوخت و هوا و اعمال تأثیر EGR و رقیق‌سازها در مدل انتگرال کوبشی اصلاح شده.

$$\int_{\theta_{ivc}}^{\theta_{soc}} \frac{\phi^B}{AN \exp \left[\frac{C(P_{ivc} V_c^{kc})^D}{T_{ivc} V_c^{kc-1}} \right]} d\theta = 1.0 \quad (10)$$

$$V_c(\theta) = \frac{V_{ivc}}{V_{(\theta)}} ; A = f(\text{EGR}) \quad (11)$$

برای استفاده از مدل انتگرال کوبشی اصلاح شده می‌بایست ضرایب A , B , C , D و K_c مشخص شوند.

1. Knock Integral Model (KIM)

2. Modified Knock Integral Model (MKIM)

مدل آهنگ سوختن

برای محاسبه سایر پارامترهای احتراق، اعم از CA50 و یا مدت زمان احتراق، می‌توان از تابع تصحیح یافته ویب استفاده کرد.

$$X_b(\theta) = 1 - \exp\left(-A\left[\frac{\theta - \theta_{soc}}{\theta_d}\right]^B\right) \quad (12)$$

که در آن x_b کسر جرمی سوخت مصرف شده، θ_{soc} زاویه میل لنگ در لحظه شروع احتراق، θ زاویه میل لنگ مربوط به کسر جرمی سوخت سوخته شده است. θ_d نیز برابر است با:

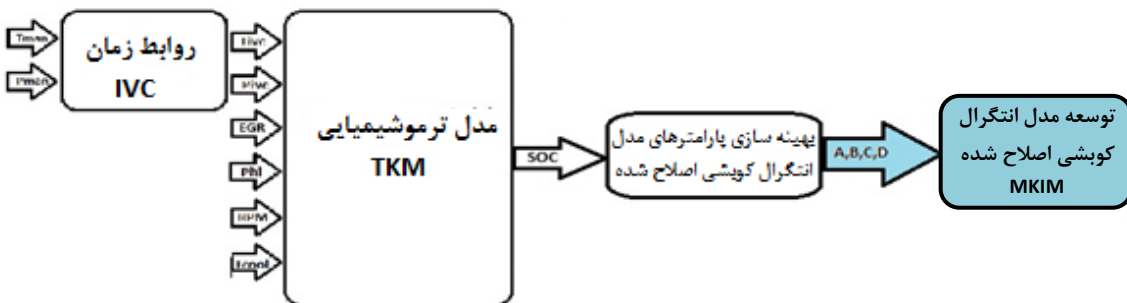
$$\theta_d = C(1 + X_d)^D \varphi^E \quad (13)$$

که φ نسبت همارزی، X_d مقدار EGR و D ضرایب ثابتی‌اند که برای استفاده از این تابع می‌بایست مشخص شوند. برای استفاده از تابع ویب و تعیین پارامترهایی همچون CA50 و یا مدت زمان احتراق می‌بایست ضرایب C, B, A و D در روابط (۱۲) و (۱۳) تعیین شود. با به کارگیری داده‌های تجربی موجود و روابط (۱۴) و (۱۵) این ضرایب قابل محاسبه‌اند.

$$X_b = 0.5 \quad (14)$$

$$BD = CA90 - CA10 \quad (15)$$

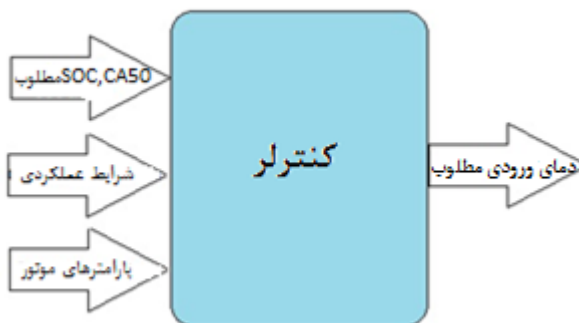
ابتدا کارایی مدل با استفاده از مقایسه پارامترهای احتراق، بهویژه زمان شروع احتراق، با مقادیر متناظر تجربی، که از تحلیل داده‌های فشار داخل سیلندر اندازه‌گیری شده حاصل شده است، در محدوده وسیعی از شرایط عملکردی موتور ارزیابی شد. در ادامه مقادیر مختلف برای دمای مخلوط ورودی، فشار ورودی، نسبت همارزی و EGR برای موتور HCCI گازسوز در مدل توسعه یافته اعمال شد. پارامترهای احتراقی SOC و CA50 و BD در سی‌وپنج حالت عملکردی مختلف موتور محاسبه شده و از این نتایج برای توسعه یک مدل کنترلی و بهینه‌سازی ضرایب موجود در روابط مدل انتگرال کوبشی اصلاح شده و تابع ویب استفاده شده است. بهینه‌سازی ضرایب توسط نرم‌افزار متلب و یک کد الگوریتم ژنتیک، که در همین نرم‌افزار توسعه یافته، انجام شده است. آنچه که در شکل ۲ و ۳ مشاهده می‌شود طرحواره‌ای از چگونگی توسعه مدل انتگرال کوبشی اصلاح شده و تعیین و بهینه‌سازی ضرایب مربوط به آن است.



شکل ۲- طرحواره‌ای از چگونگی تعیین و بهینه‌سازی مدل انتگرال کوبشی اصلاح شده (MKIM)

در ادامه، با مطالعه و بررسی تأثیر عوامل مختلف بر روی پارامترهای احتراقی، دما به عنوان تأثیرگذارترین پارامتر بر روی آن‌ها تعیین شده است [۳۲، ۳۸]. بنابراین، می‌توان با طراحی یک کنترل‌کننده که در آن دما به عنوان یک عملگر است، با اعمال شرایط اولیه مناسب، پارامترهای احتراقی را به سمت وسیعی هدایت کرد که عملکرد موتور مطلوب‌تر از شرایط پیشین شود، چرا که در صورت عدم رسیدن به عملکرد مطلوب در موتور HCCI بهره‌مندی از محسن و اجتناب از تأثیر معایب آن عملاً غیرممکن خواهد بود. در این راستا یک مدل کنترلی، که قادر به محاسبه دمای ورودی مناسب جهت کارکرد مطلوب و قابل

قبول موتور است، توسعه داده شد. این مدل، که برگرفته از مدل انتگرال کوبشی اصلاح شده و تابع ویب توسعه یافته است، در محیط برنامه‌نویسی فرتزن ۹۰ توسعه داده شده است و نحوه عملکرد آن به این ترتیب است که با توجه به اینکه دو پارامتر CA50 و SOC در عملکرد مطلوب موتور نقش بسزایی ایفا می‌کنند، موقعیت رخداد مناسب این دو پارامتر به عنوان ورودی در مدل کنترلی اعمال می‌شود. با ثابت‌بودن سایر پارامترهای ورودی، مدل قادر است دمای ورودی را به‌گونه‌ای تنظیم کند که SOC و CA50 دقیقاً دارای مقادیر اعمال شده ورودی باشند. مبنای تنظیم این دما موقعیت زمان شروع احتراق در نظر گرفته شده است، بدین صورت که SOC در بازه صفر تا ۵ درجه میل‌لنگ بعد از نقطه مرگ بالا رخ دهد^[۱۵]. مدل به‌گونه‌ای طراحی شده است که قابلیتِ اعمال بازه SOC و CA50 و یا هردو وجود دارد. شکل ۳ نحوه عملکرد آن را به‌خوبی نمایان می‌سازد.



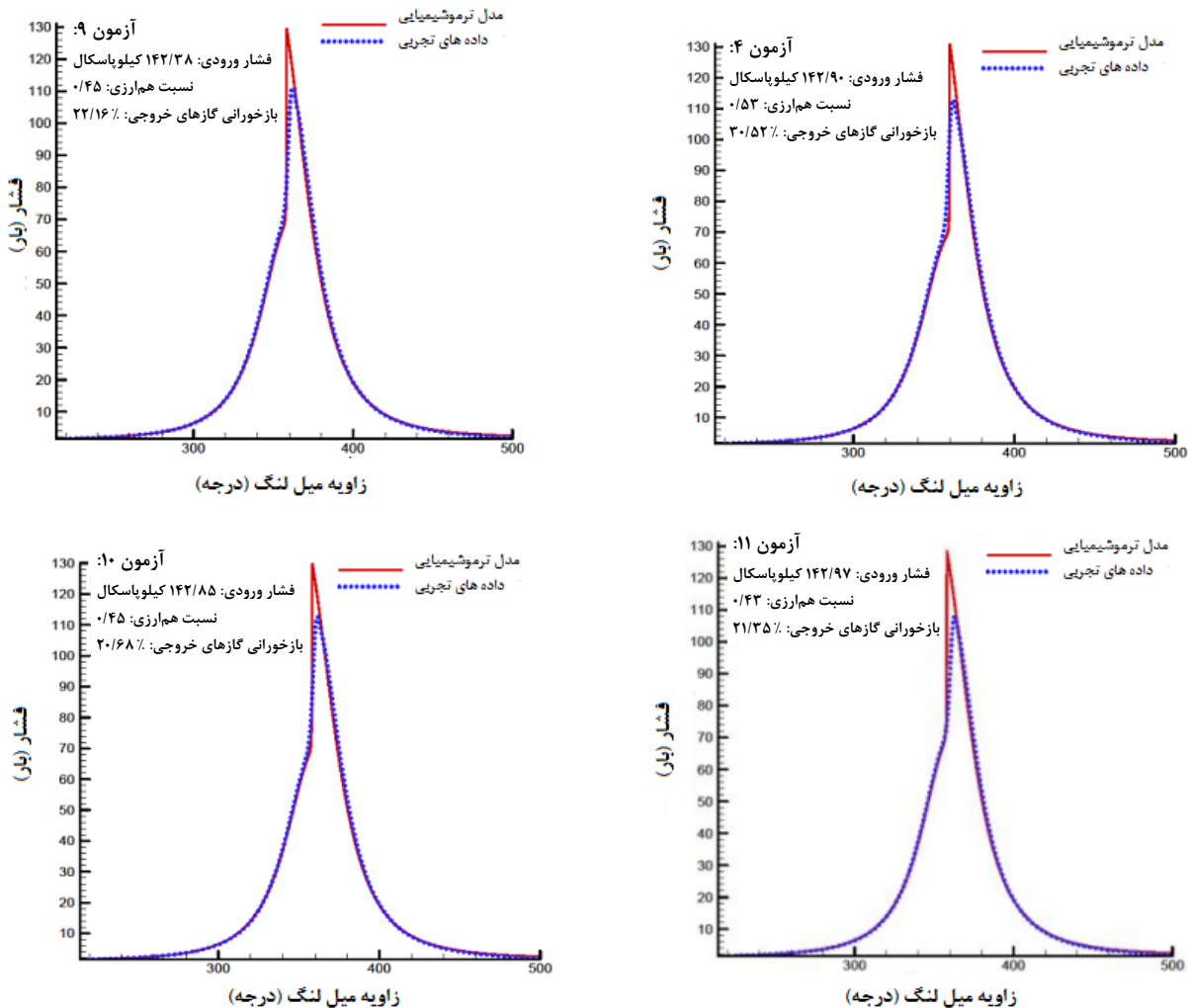
شکل ۳- طرحواره‌ای از نحوه عملکرد سیستم کنترلی ارائه شده

نتایج و بحث در مورد آن‌ها

در کار حاضر، از یک مدل ترموشیمیایی از پیش توسعه یافته بهره گرفته شده است. در مدل اشاره شده یک مدل تکمنطقه‌ای ترمودینامیکی با سازوکارهای سینتیکی کوپل شده، و یک مدل ترموشیمیایی در محیط برنامه‌نویسی فرتزن ۹۰ برای شبیه‌سازی چرخه بسته موتور و فرآیندهای مربوط به آن توسعه یافته است. با توجه به تکمنطقه‌ای بودن مدل ارائه شده و پایین‌بودن زمان محاسباتی آن، می‌توان از سازوکارهای سینتیک شیمیایی مفصل استفاده کرد که در این صورت، به‌دلیل وابستگی کامل احتراق HCCI به سینتیک شیمیایی، مدل پیش‌بینی مناسبی از خصوصیات عملکردی و احتراقی از جمله پیش‌بینی زمان شروع احتراق را خواهد داشت. اگرچه این مدل، به‌دلیل درنظر نگرفتن گرادیان دمایی در داخل محفظه احتراق و مناطق نزدیک به جداره، فشار، دما و NOx را بیشتر از مقدار واقعی پیش‌بینی می‌کند. لذا می‌توان گفت که مدل قادر به پیش‌بینی صحیح مدت زمان احتراق و غلظت محصولات نهایی احتراق نیست. شایان ذکر است که هدف کار حاضر مدل‌سازی احتراق نیست و از مدل احتراقی تکمنطقه‌ای صرفاً به عنوان ابزار ساده و مناسبی برای بهینه‌سازی ضرایب مدل انتگرال کوبشی تصحیح یافته استفاده می‌شود. در شکل ۴ به عنوان نمونه چهار حالت از نتایج مدل ترموشیمیایی گنجانده شده است.

جدول ۲ نتایج به‌دست آمده از مدل‌های ترموشیمیایی و داده‌های تجربی موجود برای زمان شروع احتراق را نشان می‌دهد. با مقایسه و بررسی آن برای تمامی شرایط اعمال شده می‌توان به این نتیجه رسید که مدل ترموشیمیایی توسعه یافته قادر به پیش‌بینی زمان شروع احتراق با دقت بسیار خوب و مناسبی است. معیار شروع زمان احتراق زاویه میل‌لنگی انتخاب شده است که در آن ده درصد از گرمای بیشینه^۱ آزادشده در طی واکنش، آزاد می‌گردد. با اعمال ورودی‌ها در مدل انتگرال کوبشی اصلاح شده، ضرایب موجود در آن توسط کد الگوریتم ژنتیک توسعه یافته در نرم‌افزار متلب، بهینه‌سازی شدند. ابتدا ضرایب A، B، C و K برای تمام شرایط و موارد مشخص شد. در این مرحله EGR دخلات داده نشده بود.

1. Maximum Heat Release



شکل ۴- روند تغییرات فشار بر حسب زاویه میل لنگ پیش‌بینی شده توسط مدل ترمومیکمیابی در مقایسه با نتایج تجربی
دمای ورودی 140°C ، سرعت موتور 800 دور دقیقه (آزمون‌های شماره ۹، ۱۰ و ۱۱)

جدول ۲- مقایسه نتایج به دست آمده از مدل ترمومیکمیابی با داده‌های تجربی (دمای ورودی 140°C ، سرعت موتور 800 دور دقیقه)

شماره آزمون	نسبت هم‌ارزی	EGR (%)	فشار اولیه IVC [kPa]	زمان شروع احتراق SOC [CAD]	تجربی	شبیه‌سازی
۲	۰/۶۹	۴۱/۱۶	۱۵۶/۴۹	۳۶۴/۲	۳۶۳/۰	
۴	۰/۵۳	۳۰/۵۲	۱۵۵/۷۴	۳۵۹/۷	۳۵۷/۸	
۵	۰/۵۰	۳۰/۰۰	۱۵۵/۶۴	۳۵۹/۷	۳۶۰/۵	
۹	۰/۴۵	۲۲/۱۶	۱۵۴/۹۵	۳۵۸/۲	۳۵۷/۹	
۱۰	۰/۴۴	۲۰/۶۸	۱۵۵/۶۳	۳۵۸/۱	۳۵۷/۴	
۱۱	۰/۴۳	۲۱/۳۵	۱۵۶/۴۳	۳۵۸/۲	۳۵۸/۷	
۱۲	۰/۳۳	۱۰/۱۰	۱۵۵/۵۲	۳۵۶/۵	۳۵۸/۳	

در گام بعدی برای تمامی شرایط دارای EGR یکسان، ضریب A تنظیم شد. بدین صورت که سایر ضرایب (K_c , D , C , B) ثابت نگه داشته شدند و ضریب A برای شرایط دارای EGR یکسان توسط کد الگوریتم رنگیک تنظیم شد. سپس با معلوم بودن ضریب A برای هر یک از EGR‌ها بهترین نمودار روی داده‌ها برآش شد. بدین صورت ضریب A تابعی از EGR با درجه چهار است که می‌توان آن را در مدل انتگرال کوبشی اصلاح شده اعمال کرد. با اعمال ضرایب به دست آمده در معادله (۱۰) مدل انتگرال کوبشی اصلاح شده کامل شده و می‌توان از آن برای پیش‌بینی زمان شروع احتراق استفاده کرد. ضرایب اعمال شده در معادله (۱۰) به شرح زیر است:

$$B = 0.119$$

$$C = 616.0$$

$$D = -0.1e-3$$

$$A = P_1(EGR)^4 + P_2(EGR)^3 + P_3(EGR)^2 + P_4(EGR) + P_5$$

$$P_1 = 6.261e-3$$

$$P_2 = -1.822e-3$$

$$P_3 = 0.7889e-3$$

$$P_4 = 8.556e-5$$

$$P_5 = 0.9697e-3$$

جدول ۳ مقایسه نتایج مربوط به پیش‌بینی شروع احتراق توسط مدل ترموشیمیایی و مدل انتگرال کوبشی اصلاح شده توسعه یافته را برای ۳۵ شرایط مختلف نشان می‌دهد که به دلیل کمبود فضا تعداد حالت‌ها در جداول با تعداد کم گزارش شده است. میانگین خطای پیش‌بینی شروع احتراق توسط مدل انتگرال کوبشی اصلاح شده برابر CAD ۱/۱۳ و بیشینه خطای پیش‌بینی شروع احتراق برای آن برابر ۲/۶ CAD است. این امر بیانگر این است که مدل انتگرال کوبشی اصلاح شده قادر به پیش‌بینی مناسب زمان شروع احتراق است. با روشی مشابه آنچه ذکر شد، ضرایب مربوط بهتابع تصحیح یافته ویب بهینه‌سازی شده و با مدل آهنگ سوختن ذکر شده (معادله ۱۲) می‌توان سایر پارامترهای احتراقی را پیش‌بینی کرد. ضرایب به دست آمده برای معادله (۱۲) به شرح زیر است:

$$A=8.980, B=2.018, C=2.001, D=0.035, E=-0.020$$

حال، با مشخص بودن ضرایب معادله (۱۲) با فرض $X_b = 0.5$ می‌توان CA50 را پیش‌بینی کرد.

جدول ۴ نتایج مربوط به مقایسه پیش‌بینی CA50 توسط مدل ترموشیمیایی و تابع ویب را نشان می‌دهد. میانگین خطای پیش‌بینی CA50 توسط تابع ویب برابر CAD ۰/۱۸ و بیشینه خطای موجود برای آن CAD ۰/۳۴ است، که نشان از دقت کافی این مدل در پیش‌بینی CA50 است. حالت‌های آزمایشگاهی ۱، ۲ و ۳ دارای زمان شروع احتراق در بازه تعریف شده‌اند. بنابراین نیازی به تنظیم دمای ورودی آن‌ها وجود ندارد. برای سایر حالت‌های آزمایشگاهی این دما توسط مدل توسعه یافته با دقت ۰/۱ کلوین تنظیم شد.

بدیهی است با توجه به اینکه زمان شروع احتراق برای تمامی حالت‌ها، پیش از تنظیم دما، قبل از نقطه مرگ بالاست، دمای تنظیم شده ورودی برای این حالت‌ها، کمتر از دمای ورودی حالت پیشین آن‌ها (۴۱۳/۱۵ کلوین) خواهد بود، تا با اعمال اندکی تأخیر زمان شروع احتراق در بازه تعریف شده قرار گیرد. با اعمال دمای تنظیم شده برای حالت‌های آزمایشگاهی مذکور پارامترهای عملکردی موتور با مقادیر متناظر شرایط پیشین مقایسه شد. در جدول ۵ مقایسه کار و فشار مؤثر متوسط انديکاتوري در حالت مذكور آورده شده است.

جدول ۳- مقایسه نتایج مربوط به پیش‌بینی شروع احتراق توسط مدل ترموشیمیایی و مدل انترگال کوبشی اصلاح شده توسعه یافته (دماه ورودی ۱۴۰°C، سرعت موتور ۸۰۰ دور دقیقه)

زمان شروع احتراق SOC [CAD]		IVC فشار اولیه [kPa]	EGR (%)	نسبت هم ارزی	شماره آزمون
مدل انترگال کوبشی اصلاح شده MKIM	مدل ترموشیمیایی TKM				
۳۶۲/۹	۳۶۵/۴	۱۵۷/۰۴	۳۹/۷۹۲۹	۰/۷۱۹۴۳	۱
۳۶۴/۹	۳۶۴/۲	۱۵۶/۴۹	۴۱/۱۵۵۹	۰/۶۹۲۱۲	۲
۳۶۴/۴	۳۶۳/۹	۱۵۵/۷۴	۴۰/۱۵۱۲۲	۰/۶۷۶۵۹	۳
۳۵۸/۴	۳۵۹/۷	۱۵۵/۷۴	۳۰/۱۵۲۰۱	۰/۵۲۶۳۶	۴
۳۵۸/۶	۳۵۹/۷	۱۵۵/۶۴	۳۰/۰۰۱۲	۰/۵۰۰۴۴	۵
۳۵۹/۱	۳۵۹/۱	۱۵۴/۸۶	۳۰/۲۳۸۰	۰/۴۸۴۶۴	۶
۳۵۹/۷	۳۵۸/۸	۱۵۴/۷۵	۳۰/۷۹۰۶	۰/۴۶۹۳۷	۷
۳۵۹/۷	۳۵۸/۶	۱۵۵/۰۹	۳۰/۰۵۶۴	۰/۴۵۱۶۷	۸
۳۵۵/۹	۳۵۸/۲	۱۵۴/۹۵	۲۲/۱۵۵۲	۰/۴۵۴۰۹	۹
۳۵۵/۵	۳۵۸/۱	۱۵۵/۶۳	۲۰/۶۷۶۵	۰/۴۴۷۰۵	۱۰
۳۵۶/۱	۳۵۸/۲	۱۵۶/۴۳	۲۱/۳۵۲۱	۰/۴۳۰۰۲	۱۱
۳۵۵/۷	۳۵۶/۵	۱۵۵/۵۲	۱۰/۰۹۹۷	۰/۳۳۷۲۱	۱۲
۳۵۶/۲	۳۵۵/۹	۱۵۶/۲۰	۱۰//۵۶۲۰	۰/۳۲۲۷۶	۱۳
۳۵۶/۰	۳۵۵/۲	۱۵۵/۶۷	۰/۰۰۰۰	۰/۲۸۶۰۸	۱۴
۳۵۴/۹	۳۵۶/۸	۱۳۲/۵۶	۰/۰۰۰۰	۰/۳۱۹۲۷	۱۵

جدول ۴- مقایسه پیش‌بینی CA50 توسط مدل ترموشیمیایی و تابع ویب (دماه ورودی ۱۴۰°C، سرعت موتور ۸۰۰ دور دقیقه)

زمان آزاد شدن ۵۰ درصد انرژی CA50 [CAD]		IVC فشار اولیه [kPa]	EGR (%)	نسبت هم ارزی	شماره آزمون
تابع ویب	مدل ترموشیمیایی TKM				
۳۶۵/۰۵۷۳	۳۶۵/۷	۱۵۷/۰۴	۳۹/۷۹۲۹	۰/۷۱۹۴۳	۱
۳۶۴/۳۵۷۵	۳۶۴/۵	۱۵۶/۴۹	۴۱/۱۵۵۹	۰/۶۹۲۱۲	۲
۳۶۴/۰۵۷۵	۳۶۴/۲	۱۵۵/۷۴	۴۰/۱۵۱۲۲	۰/۶۷۶۵۹	۳
۳۵۹/۸۵۷۹	۳۶۰/۰	۱۵۵/۷۴	۳۰/۱۵۲۰۱	۰/۵۲۶۳۶	۴
۳۵۹/۴۵۸۱	۳۵۹/۶	۱۵۵/۶۴	۳۰/۰۰۱۲	۰/۵۰۰۴۴	۵
۳۵۹/۲۵۸۲	۳۵۹/۶	۱۵۴/۸۶	۳۰/۲۳۸۰	۰/۴۸۴۶۴	۶
۳۵۸/۹۵۸۳	۳۵۹/۱	۱۵۴/۷۵	۳۰/۷۹۰۶	۰/۴۶۹۳۷	۷
۳۵۸/۷۵۸۴	۳۵۸/۹	۱۵۵/۰۹	۳۰/۰۵۶۴	۰/۴۵۱۶۷	۸
۳۵۸/۳۵۸۰	۳۵۸/۵	۱۵۴/۹۵	۲۲/۱۵۵۲	۰/۴۵۴۰۹	۹
۳۵۸/۲۵۸۰	۳۵۸/۳	۱۵۵/۶۳	۲۰/۶۷۶۵	۰/۴۴۷۰۵	۱۰
۳۵۷/۹۵۸۱	۳۵۸/۱	۱۵۶/۴۳	۲۱/۳۵۲۱	۰/۴۳۰۰۲	۱۱
۳۵۶/۲۵۸۴	۳۵۶/۴	۱۵۵/۵۲	۱۰/۰۹۹۷	۰/۳۳۷۲۱	۱۲
۳۵۶/۰۵۸۵	۳۵۶/۲	۱۵۶/۲۰	۱۰//۵۶۲۰	۰/۳۲۲۷۶	۱۳
۳۵۵/۳۵۸۴	۳۵۵/۶	۱۵۵/۶۷	۰/۰۰۰۰	۰/۲۸۶۰۸	۱۴
۳۵۶/۹۵۸۰	۳۵۷/۱	۱۳۲/۵۶	۰/۰۰۰۰	۰/۳۱۹۲۷	۱۵

جدول ۵- تأثیر اعمال دمای تنظیم شده بر روی کار و فشار مؤثر متوسط اندیکاتوری

میزان افزایش (بار)	IMEP(bar)		کار (ژول)			دمای تنظیم شده (کلوین)	دمای اولیه (کلوین)	شماره آزمون
	دمای تنظیم شده	دمای اولیه	درصد افزایش	دمای تنظیم شده	دمای اولیه			
۰,۹۲	۴,۳۵	۲,۴۲	۲۷	۲۶۶,۳۰	۲۱۰,۳۵	۴۰۰,۶	۴۱۳,۱۵	۴
۰,۷۶	۴,۰۳	۲,۲۷	۲۳	۲۴۷,۰۱	۲۰۰,۳۲	۴۰۱,۶	۴۱۳,۱۵	۵
۰,۵۵	۳,۶۹	۲,۱۴	۱۷	۲۲۶,۰۵	۱۹۲,۴۹	۴۰۳,۹	۴۱۳,۱۵	۶
۰,۳۱	۳,۳۴	۲,۰۳	۱۰	۲۰۴,۵۶	۱۸۵,۴۴	۴۰۷,۲	۴۱۳,۱۵	۷
۰,۳۲	۳,۲۶	۲,۹۴	۱۱	۱۹۹,۶۲	۱۸۰,۰۷	۴۰۶,۹	۴۱۳,۱۵	۸
۲,۰۲	۵,۱۱	۳,۰۹	۶۵	۳۱۲,۸۸	۱۸۹,۲۹	۳۸۸,۷	۴۱۳,۱۵	۹
۲,۲۹	۵,۳۸	۳,۰۹	۷۴	۳۲۹,۷۱	۱۸۸,۹۸	۳۸۷,۰	۴۱۳,۱۵	۱۰
۱,۶۹	۴,۶۶	۲,۹۸	۵۷	۲۸۵,۶۱	۱۸۲,۲۲	۳۸۹,۹	۴۱۳,۱۵	۱۱
۱,۳۹	۳,۹۲	۲,۵۳	۵۵	۲۴۰,۱۰	۱۵۵,۰۸	۳۸۷,۹	۴۱۳,۱۵	۱۲
۱,۱۳	۳,۵۸	۲,۴۵	۴۶	۲۱۹,۰۴	۱۵۰,۰۵	۳۹۰,۴	۴۱۳,۱۵	۱۳
۱,۱۰	۳,۴۴	۲,۳۴	۴۷	۲۱۰,۷۳	۱۴۳,۱۷	۳۸۹,۴	۴۱۳,۱۵	۱۴
۱,۷۴	۳,۹۶	۲,۲۲	۷۸	۲۴۲,۵۹	۱۳۶,۱۹	۳۸۴,۳	۴۱۳,۱۵	۱۵

نتیجه‌گیری

با توسعه یک مدل ترموشیمیابی و از نتایج بهدست آمده از آن برای پارامترهای احتراقی، ضرایب موجود در روابط مدل انتگرال کوبشی اصلاح شده و تابع ویب بهینه‌سازی شدند. در ادامه با بهدست آوردن این ضرایب یک مدل انتگرال کوبشی اصلاح شده برای پیش‌بینی پارامترهای احتراقی توسعه داده شد. این مدل قادر به پیش‌بینی زمان شروع احتراق با بیشینه خطای CAD ۲/۶ است. همچنین، تابع ویب گسترش بافتیه می‌تواند برای پیش‌بینی پارامترهای احتراقی همچون مدت زمان احتراق و CA50 به کار رود. دقت این تابع برای پیش‌بینی CA50 برای سی‌وپنج حالت مذکور برابر $۴۱۳,۱۵ \pm ۰,۳۴$ CAD است. افزایش کار خروجی با اعمال دمای تنظیم شده از نتایج مندرج در جدول ۵ کاملاً مشهود است. این امر از قبل نیز قابل پیش‌بینی بود، چراکه تمامی حالت‌های آزمایشگاهی مذکور دارای زمان شروع احتراق قبل از نقطه مرگ بالا بودند. شروع احتراق قبل از نقطه مرگ بالا، منجر به کاهش ناگهانی آهنگ افزایش فشار و در نتیجه کاهش کار خروجی می‌شود. در صورتی که شروع زمان احتراق در موقعیت‌های بعد از نقطه مرگ بالا منجر به آزادسازی قسمت بیشتری از انرژی در نزدیکی این نقطه شده و بدون شک کار خروجی را افزایش می‌دهد. با بررسی برخی از حالت‌های آزمایشگاهی که کار در آن‌ها بهشت افزایش یافته است، می‌توان گفت که در اکثر این حالت‌ها ضرایب تغییر فشار و فشار مؤثر متوسط اندیکاتوری بسیار بیشتر از سایر حالت‌ها و حتی میانگین مربوط به این سی‌ودو حالت است. از این رو می‌توان گفت که این حالت‌های آزمایشگاهی در دمای اولیه، در حالت کارکرد ناپایدارند، ولی در ادامه با تنظیم دمای مخلوط به کارکرد پایدار می‌رسند.

علایم و اختصارات

BD: Burn Duration

مدت زمان احتراق

CAD: Crank Angle Degree

زاویه میل لنگ

CA50: Crank Angle for %50 burnt fuel	زاویه میل لنگ که در آن ۵۰ درصد سوخت مصرف شده است
CFD: Computational Fluid Dynamics	دینامیک سیالات محاسباتی
CFR: Cooperative Fuels Research	موتور تحقیقاتی
CI: Compression Ignition	احتراق تراکمی
CO: Carbon Monoxide	مونوکسید کربن
COM: Control Oriented Model	مدل بر مبنای کنترلی
EGR: Exhaust Gas Recirculation	باذخورانی گازهای خروجی
EVO: Exhaust Valve Opening	لحظه بازشدن سوپاپ خروجی
HCCI: Homogeneous Charge Compression Ignition	اشتعال تراکمی مخلوط همگن
IVC: Intake Valve Closing	لحظه بسته شدن سوپاپ
KIM: Knock Integral Model	مدل انتگرال کوبشی
MKIM: Modified Knock Integral Model	مدل انتگرال کوبشی اصلاح شده
MW: Molecular Weight	وزن مولکولی
NG: Natural Gas	گاز طبیعی
NO _x : Oxides of Nitrogen	اکسید نیتروژن
PM: Particulate Matter	ذرات معلق
RPM: Revolution per Minute	دور در دقیقه
SI: Spark Ignition	اشتعال جرقه‌ای
SOC: Start of Combustion	زمان شروع احتراق
TKM: Thermo-Kinetic Model	مدل ترمومیکانیکی

علامیم انگلیسی

C _p : Constant-Pressure specific heat capacity	ظرفیت گرمایی ویژه در فشار ثابت
C _v : Constant-Volume specific heat capacity	ظرفیت گرمایی ویژه در حجم ثابت
K _c [-]	نسبت گرمایی ویژه
P: Pressure [kPa]	فشار
T: Temperature [K]	دما
m: Mass [kg]	جرم
N: engine speed [RPM]	سرعت موتور
UHC: Unburned Hydro Carbons	هیدروکربن‌های نسوخته

علامیم یونانی

φ : Equivalences Ratio [-]	نسبت همارزی
ρ : Density(kg/m ³)	چگالی
τ : Ignition Delay	تأخير در اشتعال
θ : Crank Angle [CAD]	زاویه لنگ

منابع

1. H. Zhao, *Homogeneous Charge Compression Ignition (HCCI) and Controlled Auto Ignition (CAI) Engines for the Automotive Industry*, Woodhead Publishing Limited, Brunel University, 2007.
2. F. Zhao, T. W. Asmus, D. N. Assanis, J. E. Dec, J. A. Eng and P. M. Najt, *HCCI Engines*, Key Research and Development Issues, SAE International, Warrendale, PA, 2003.
3. P. G. Aleiferis, A. G. Charalambides, Y. Hardalupas, A. M. K. P. Taylor and Y. Urata, "Autoignition Initiation and Development of n-Heptane HCCI Combustion Assisted by Inlet Air Heating, Internal EGR or Spark Discharge: An Optical Investigation," *SAE Paper No. 2006-01-3273*, 2006.
4. R. H. Stanglmaier, and C. E. Roberts, "(HCCI): Benefits, Compromises, and Future Engine Applications," *SAE Paper No. 1999-01-3682*, 1999.
5. X. Lu, W. Chen, Y. Hou, and Z. Huang, "Study on the Ignition, Combustion and Emissions of HCCI Combustion Engines Fueled With Primary Reference Fuels," *SAE Paper No. 2005-01-0155*, 2005.
6. M. Yao, Z. Zheng, B. Zhang, and Z. Chen, "The Effect of PRF Fuel Octane Number on HCCI Operation," *SAE Paper No. 2004-01-2992*, 2004.
7. H. Santoso, J. Matthews and W. K. Cheng, "Managing SI/HCCI Dual-Mode Engine Operation," *SAE Paper No. 2005-01-0162*, 2005.
8. S. Midlam-Mohler, S. Haas, Y. Guezennec, M. Bargende and G. Rizzoni, "Mixed-Mode Diesel HCCI/DI with External Mixture Preparation," *SAE Paper No. 2004-05-0446*, 2004.
9. G. M. Shaver, M. J. Roelle and J. C. Gerdes, "Modeling Cycle to Cycle Dynamics and Mode Transition in HCCI Engines with Variable Valve Actuation," *Journal Of Control Engineering Practice*, 14, 2006, pp. 213-222.
10. L. Xingcai, H. Yuchum, J. Libin, Z. Linlin and H. Zhen, "Heat Release Analysis on Combustion and Parametric Study on Emissions of HCCI Engines Fueled with 2-Propanol/n-Heptane Blend Fuels," *Journal of Energy & Fuel*, 2006, pp. 1870-1878.
11. L. Koopmans, O. Backlund and I. Denbratt, "Cycle to Cycle Variations: Their Influence on Cycle Resolved Gas Temperature and Unburned Hydrocarbons from a Camless Gasoline Compression Ignition Engine," *SAE Paper No. 2002-01-0110*, 2002.
12. S. C. Kong and R. D. Reitz, "Numerical Study of Premixed HCCI Engine Combustion and its Sensitivity to Computational Mesh and Model Uncertainties," *Combustion Theory and Modeling*, 2003, pp. 417-433.
13. S. M. Aceves, D. L. Flowers, C. K. Westbrook, J. R. Smith, W. Pitz, R. Dibble, M. Christensen and B. Johansson, "A Multi-zone Model for Prediction of HCCI Combustion and Emissions," *SAE Paper No. 2000-01-0327*, 2000.
14. P. Kongseperep, M. D. Checkel and B. Kashani, "A Stand-alone Multi-Zone Mo del for Combustion in HCCI Engines", ASME Internal Combustion Engine Division 2005 Fall Technical Conference, ICEF, Ottawa, Canada, 2005.
15. S. M. Aceves, D. L. Flowers, J. Martinez-Frias, J. R. Smith, R. Dibble, M. Au and J. Girard, "HCCI Combustion: Analysis and Experiments," *SAE Paper No. 2001-01-2077*, 2001.
16. S. B. Fifeland and D. N. Assanis, "A Four-stroke Homogeneous Charge Compression Ignition Engine Simulation for Combustion and Performance Studies," *SAE Paper No. 2000-01-0332*, 2000.
17. K. Swan, M. Shahbakhti and C. R. Koch, "Predicting Start of Combustion Using a Modified Knock Integral Method for an HCCI Engine," *SAE Paper No. 2006- 01-1086*, 2006.
18. M. Canova, L. Garzarella, M. Ghisol, S. M. Mohler, Y. Guezennec and G. Rizzoni "A Control-Oriented Mean-Value Model for HCCI Diesel Engines with External Mixture Formation," *Proceedings of IMECE2005, ASME International Mechanical Engineering*, 2005.
19. G. M. Shaver, J. C. Gerdes, M. J. Roelle, P. A. Caton and C. F. Edwards, "Dynamic Modeling of Residual-Affected Homogeneous Charge Compression Ignition Engines with Variable Valve Actuation," *ASME Journal of Dynamic Systems, Measure ment and Control*, 127, 2005, pp. 374-381.
20. M. Halstead, L. Kirsch and J. Keck, "The Autoignition of Hydrocarbon Fuels at High Temperatures and Pressures-Fitting of a Mathematical Model," *Combustion and Flame*, 30, 1977, pp. 45-60.
21. J. Bengtsson, M. Gafvert and P. Strandh, "Modeling of HCCI Engine Combustion for Control Analysis," *Proceeding of IEEE Conference on Decision and Control*, 2004, pp. 1682-1687.
22. S. Karagiorgis, N. Collings, K. Glover and T. Petridis, "Dynamic Modeling of Combustion and Gas Exchange Processes for Controlled Auto-Ignition Engines," *Proceeding of the 2006 American Control Conference*, Minneapolis, Minnesota, USA, June 14-16, 2006.
23. G. M. Shaver, M. J. Roelle, P. A. Caton, N. B. Kaahaaina, N. Ravi, J. Hathout, J. Ahmed, A. Kojic, S. Park, C. F. Edwards and J. C. Gerdes, "A Physics- Based Approach to the Control of Homogeneous Charge Compression Ignition Engines with Variable Valve Actuation," *International Journal of Engine Research*, 6, 2005, pp. 361-375.
24. D. J. Rausen, A. G. Stefanopoulou, J. M. Kang, J. A. Eng and W. Kuo, "A Mean-Value Model for Control of Homogeneous Charge Compression Ignition (HCCI) Engines," *Proceeding of American Control Conference*, 2004, pp. 125-131.
25. J. C. Livengood and P. C. Wu, "Correlation of Autoignition Phenomena in Internal Combustion Engines and Rapid Compression Machines," *Fifth Symposium (International) on Combustion*, 1955, pp. 347-356.

26. F. Agrell, H. E. Angstrom, B. Eriksson, J. Wikander and J. Linderyd, "Integrated Simulation and Engine Test of Closed Loop HCCI Control by Aid of Variable Valve Timings," *SAE Paper No. 2003-01-0748*, 2003.
27. Y. Ohyama, Engine Control using a Real-Time Combustion Model," *SAE paper No. 2001-01-0256*, 2001.
28. M. Iida, T. Aroonsrisopon, M. Hayashi, D. Foster and J. Martin, "The Effect of Intake Air Temperature, Compression Ratio and Coolant Temperature on the Start of Heat Release in an HCCI Engine," *SAE Paper No. 2001-01-1880*, 2001.
29. J. S. Souder, P. Mehresh, J. K. Hedrick and R. W. Dibble, "A Multi-Cylinder HCCI Engine Model for Control," *Proceedings of IMECE2004*, pp. 307-316, 2004.
30. Y. Ohyama, "Engine Control using Combustion Model," *SAE paper No. 2000-01-0198*, 2000.
31. P. Kirchen, M. Shahbakhti and C. R. Koch, "A Skeletal Kinetic Mechanism for PRF Combustion in HCCI Engines," *Journal of Combustion Science and Technology*, 179, pp. 1059-1083, 2007.
32. P. Kongserelparp and M. D. Checkel, "Novel Method of Setting Initial Conditions for Multi-Zone HCCI Combustion Modeling," *SAE, Paper 2007-01-0674*, 2007.
34. C. J. Chiang and A. G. Stefanopoulou, "Dynamic Modeling of Combustion and Gas Exchange Processes for Controlled Auto-Ignition Engines," *Proceeding of the 2006 American Control Conference, ACC*, Minneapolis, Minnesota, USA, 2006.

English Abstract

Developing a Control Oriented Model for Predicting Combustion Timing in HCCI Engines

Sasan Akbarpour, Rahim Khoshbakhti Saray, Mehdi Mirzaei, Vahid Mohammadi and Ghasem Soleimani

Department of Mechanical Engineering, Sahand University of Technology, Sahand New City, Tabriz, Iran

(Received: 2013.2.24, Received in revised form: 2013.10.23, Accepted: 2013.10.25)

One of the main challenges in HCCI engines is lack of suitable control system as exists in conventional internal combustion engines. Therefore, controlling HCCI combustion can improve the commercial application of these types of engine. In this study a control oriented model (COM) that can predict SOC, BD, and CA50 has been developed. The validity of the model has been verified by comparing the predicted pressure traces with the corresponding experimental data, resulted from analysis of in-cylinder pressure data, in a wide range of operating conditions. Then, various amounts of intake temperature, intake pressure, and equivalence ratio in HCCI engine in the developed model have been implemented. These data are used to optimize coefficients in Modified Knock Integral Model (MKIM) correlation, and other correlations for predicting combustion parameters. One of the advantages of this COM is easy access to inlet parameters.

Keywords: HCCI engine, Control Oriented Model, Start of Combustion, Burn Duration, CA50